

# Model-checking simbolico

---

# Approcci al model-checking (MC)

- **Explicit-State MC:** algoritmo esplora gli stati individualmente
  - ❑ automa di Büchi costruito on-the-fly durante esplorazione
  - ❑ Model-checker esplicito: SPIN
  - ❑ performance ottenuta con una serie di ottimizzazioni (partial order reduction, state compression, etc.)
- **Symbolic MC:** algoritmo esplora insiemi di stati rappresentati simbolicamente (formula logica)
  - ❑ L'insieme di successori di un insieme di stati è calcolato dalla rappresentazione dell'insieme e la rappresentazione delle transizioni
- **Bounded MC:** riduzione a soddisfacibilità di formule Booleane (SAT)
  - ❑ Limite sul numero di passi codificati

# Algoritmo simbolico per raggiungibilità

- $A = (\Sigma, Q, Q_{in}, \delta)$  macchina a stati finiti
- $T$ : insieme target
- algoritmo manipola insiemi di stati (forward reachability):
  - Inizializzazione:  $Q_0 = Q_{in}$
  - Passo:  $Q_{i+1} = Q_i \cup \{ q' \mid \exists q \in Q_i, (q, a, q') \in \delta \}$
  - Terminazione:
    - Se  $Q_i \cap T \neq \emptyset$ , termina con risposta positiva
    - Se  $Q_{i+1} == Q_i$  termina con risposta negativa
- si può ottenere un altro algoritmo (backward reachability) partendo dal target  $T$  e visitando gli stati a ritroso fino a raggiungere stato iniziale oppure completata esplorazione stati raggiungibili

# Insiemi di stati come formule booleane

- per implementare efficientemente algoritmi simbolici occorre una struttura dati efficiente per
  - rappresentare in maniera compatta insiemi di stati
  - facilitare le tipiche operazioni su insiemi (unione, intersezione, test uguaglianza, test vuoto, etc.)
- Insiemi di stati possono essere rappresentati come formule booleane
  - stati sono rappresentati da vettori binari (corrispondenti a valutazioni delle variabili)
  - uno stato appartiene ad un insieme rappresentato da formula  $\varphi$  se corrisponde a valutazione soddisfacente  $\varphi$

# Visita simbolica con formule

- $R_0(X) = Q_{in}(X)$
- $R_{i+1}(X) = R_i(X) \vee \exists Z. ( R_i(Z) \wedge T(Z,X) )$

dove:

- $X, Z$  sono vettori binari,
- $R_j$  con  $j \geq 0$ , e  $Q_{in}$  sono predicati sui vettori (insiemi) e
- $T$  è una relazione binaria su vettori (relazione di transizione)

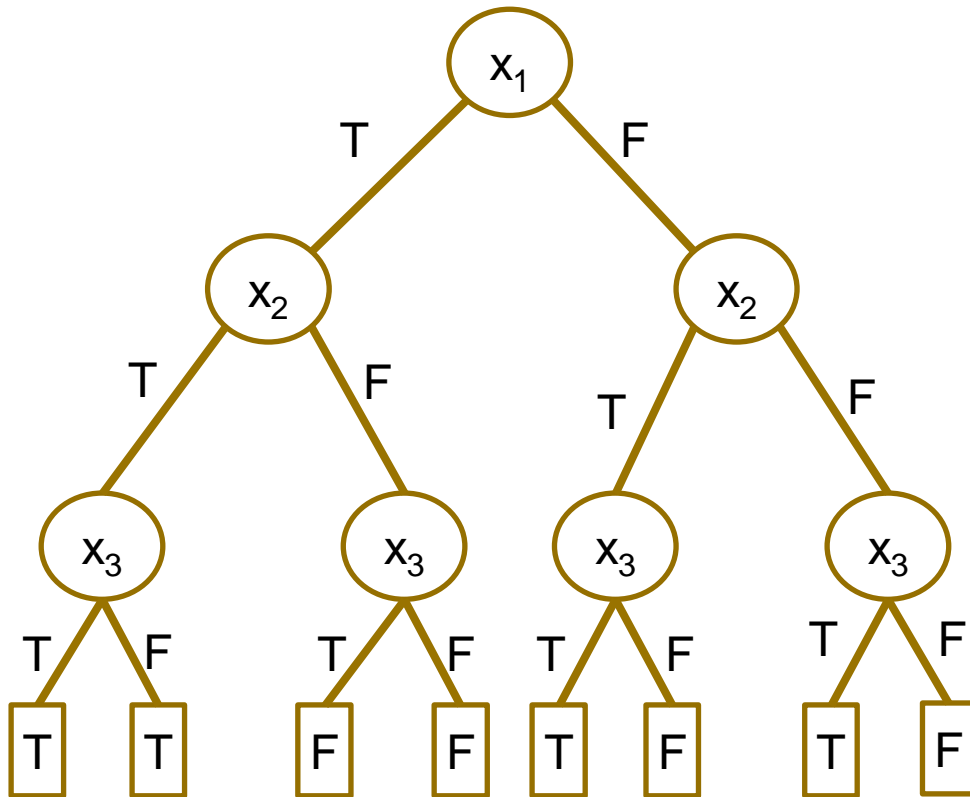
# Rappresentazione compatta di formule

- formula  $\varphi = (x_1 \wedge x_2) \vee (\neg x_1 \wedge x_3)$
- una formula può essere vista come una funzione booleana e quindi definita attraverso una tavola di verità:

$x_1$	$x_2$	$x_3$	$\varphi$
F	F	F	F
F	F	T	T
F	T	F	F
F	T	T	T
T	F	F	F
T	F	T	F
T	T	F	T
T	T	T	T

- ridondante:
  - formula vera se entrambi  $x_1$  e  $x_2$  veri oppure  $x_1$  falso e  $x_3$  vero
- utilizziamo un albero di decisione binario

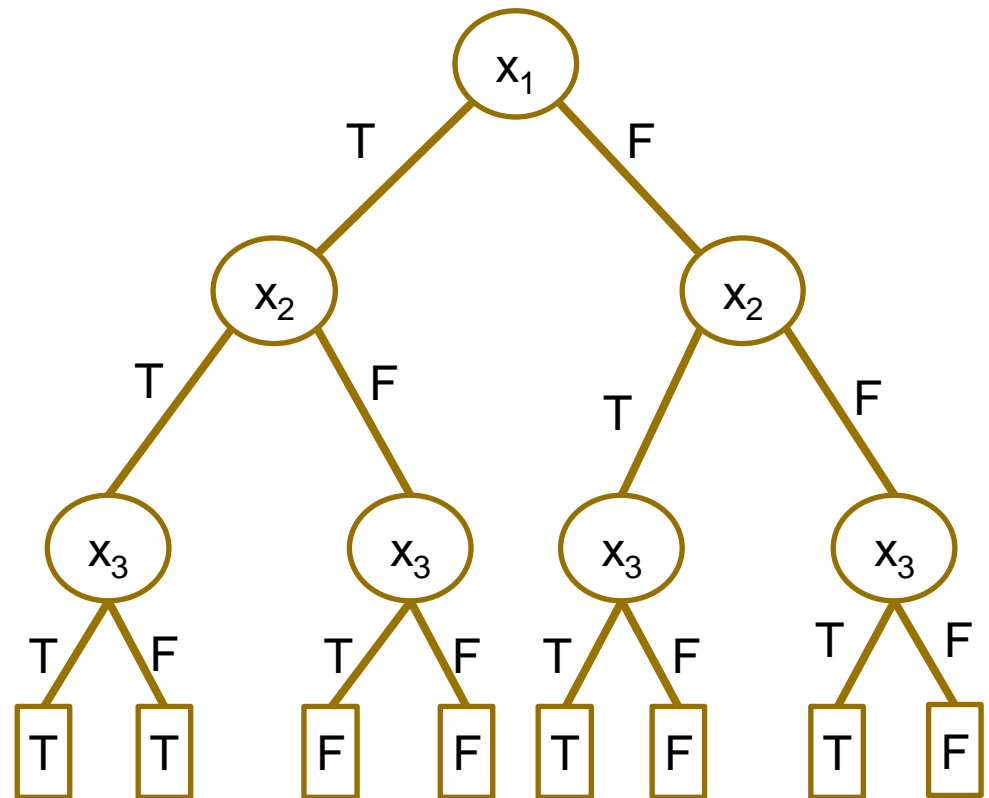
# Albero di decisione binario



- corrisponde alla tavola di verità
- ogni livello (eccetto foglie) corrisponde ad una variabile
- archi uscenti etichettate con valore variabile
- valutazioni corrispondono a cammini dalla radice alle foglie
- valore foglie = valore formula

# Diagramma di decisione binario

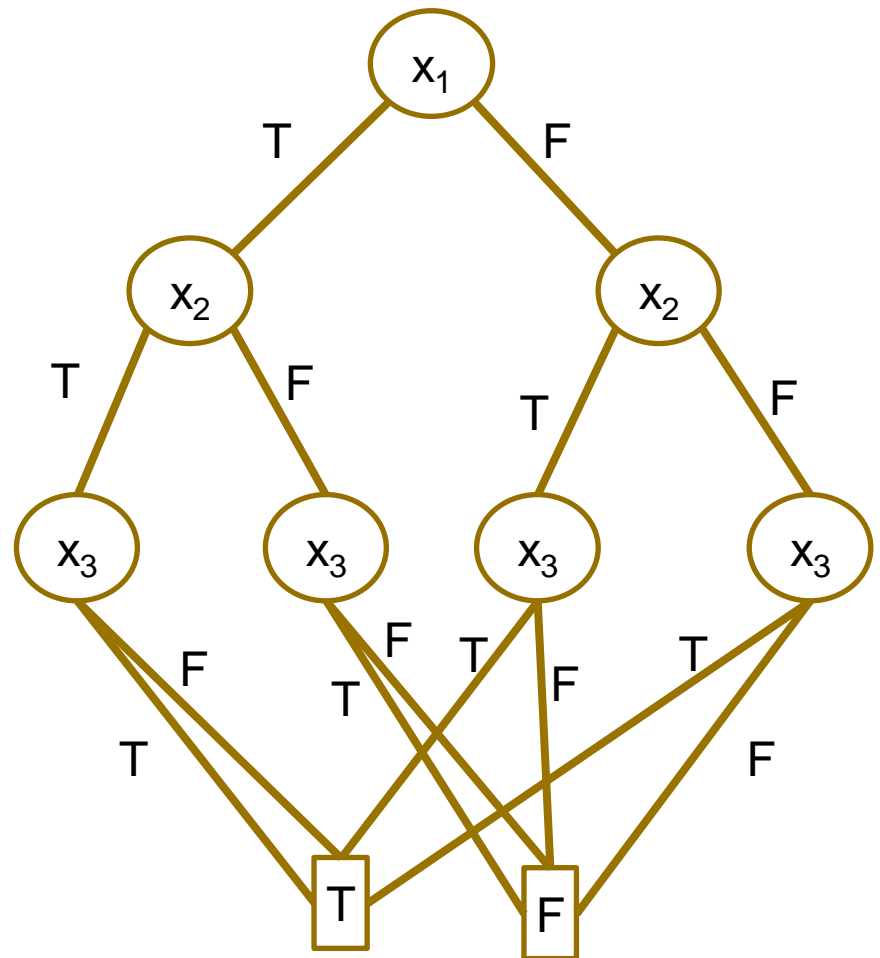
- possiamo compattare ridondanze
- ad es., non servono tutte le foglie
  - basta solo un rappresentante per T e uno per F





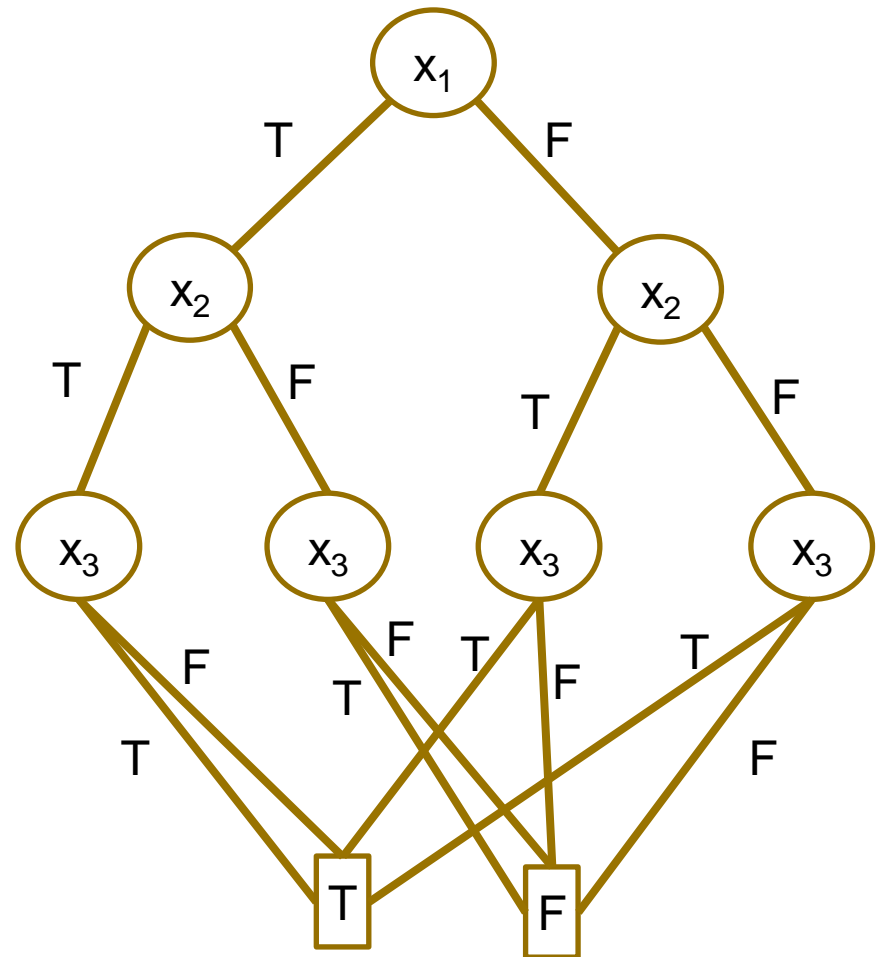
# Diagramma di decisione binario

- possiamo compattare ridondanze
- ad es., non servono tutte le foglie
  - basta solo un rappresentante per T e uno per F



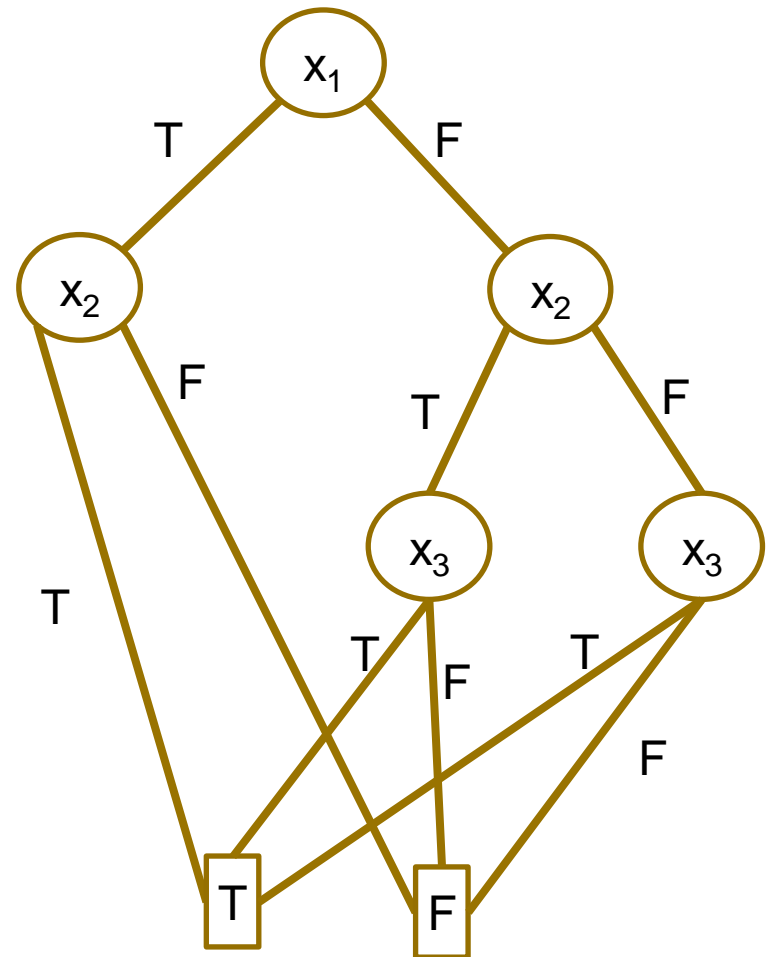
# Diagramma di decisione binario

- nodo  $x_3$  più a sinistra collegato a foglia T indipendentemente dal valore assegnato
- stesso per secondo nodo stesso livello
- possiamo rimuoverli e collegare archi da  $x_2$  direttamente alle foglie



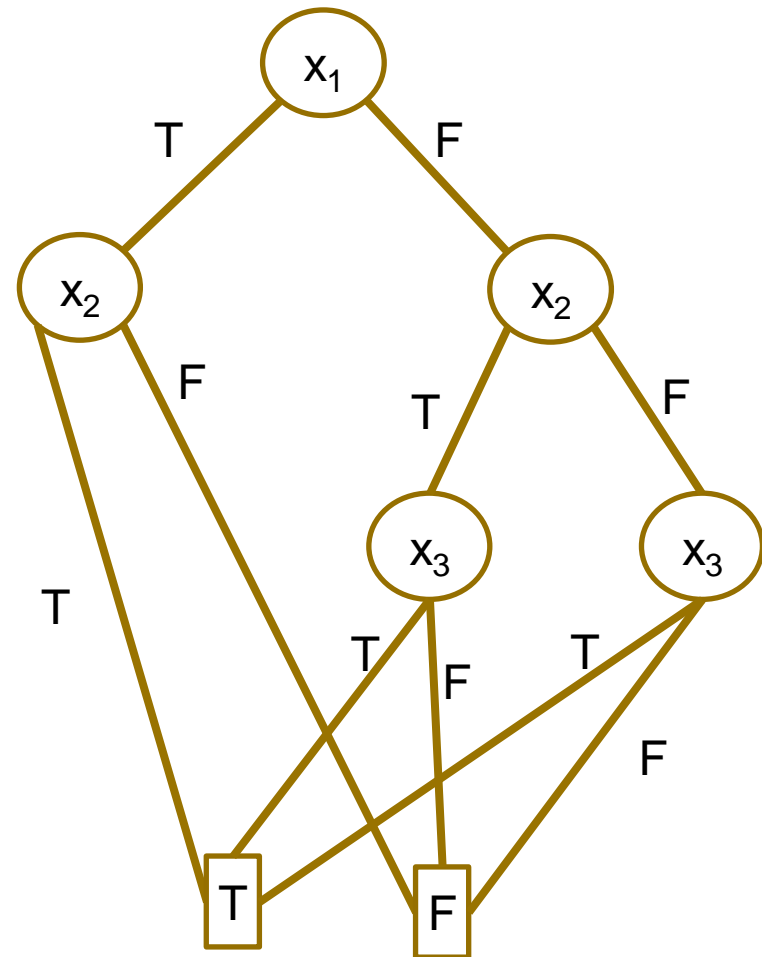
# Diagramma di decisione binario

- nodo  $x_3$  più a sinistra collegato a foglia T indipendentemente dal valore assegnato
- stesso per secondo nodo stesso livello
- possiamo rimuoverli e collegare archi da  $x_2$  direttamente alle foglie



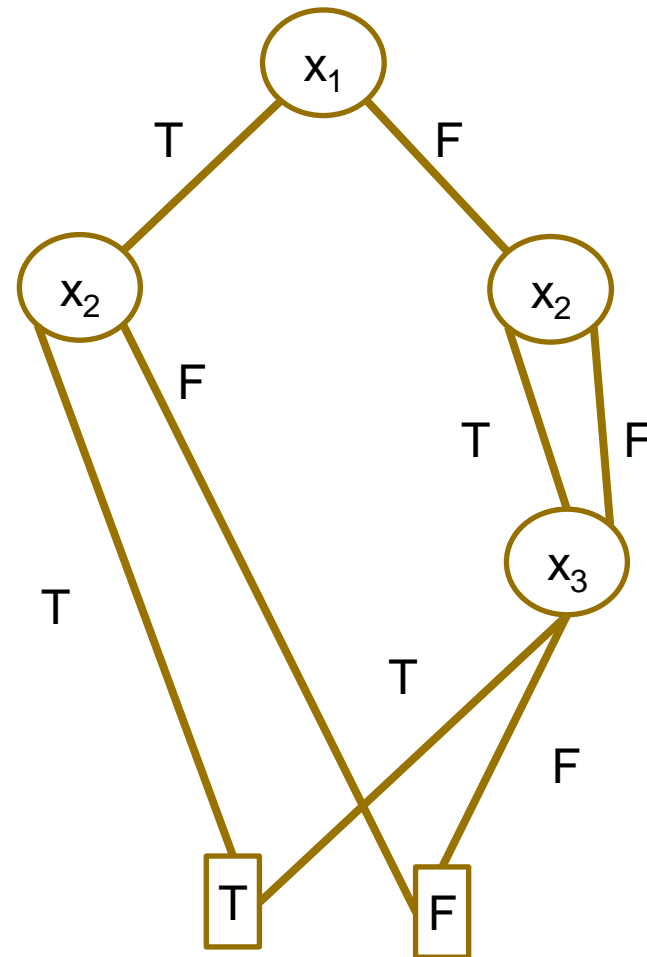
# Diagramma di decisione binario

- i sottografi radicati in  $x_3$  coincidono
- possiamo accorparli in un unico sottografo



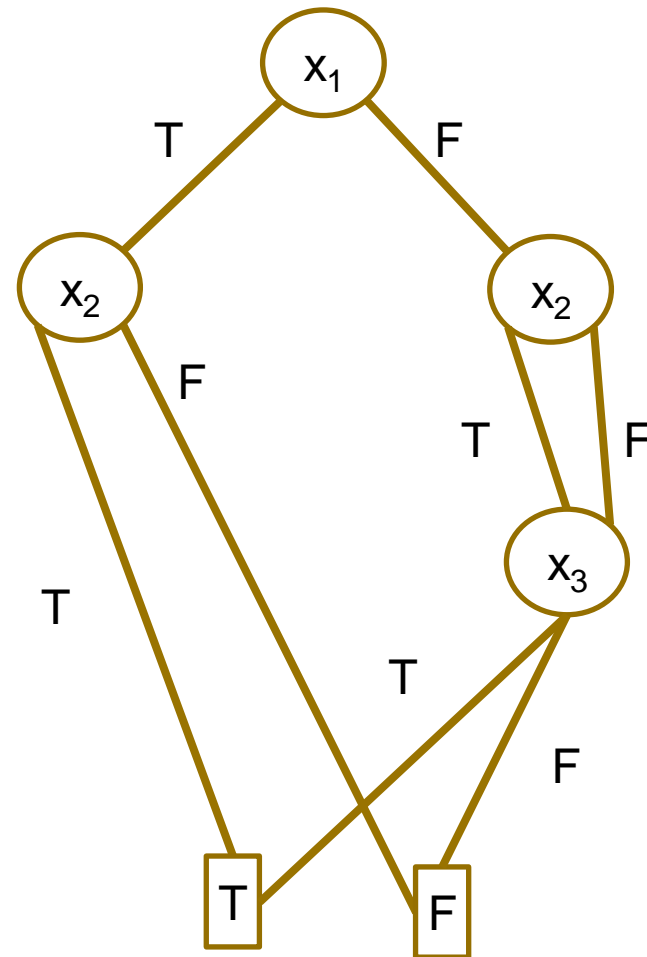
# Diagramma di decisione binario

- i sottografi radicati in  $x_3$  coincidono
- possiamo accorparli in un unico sottografo



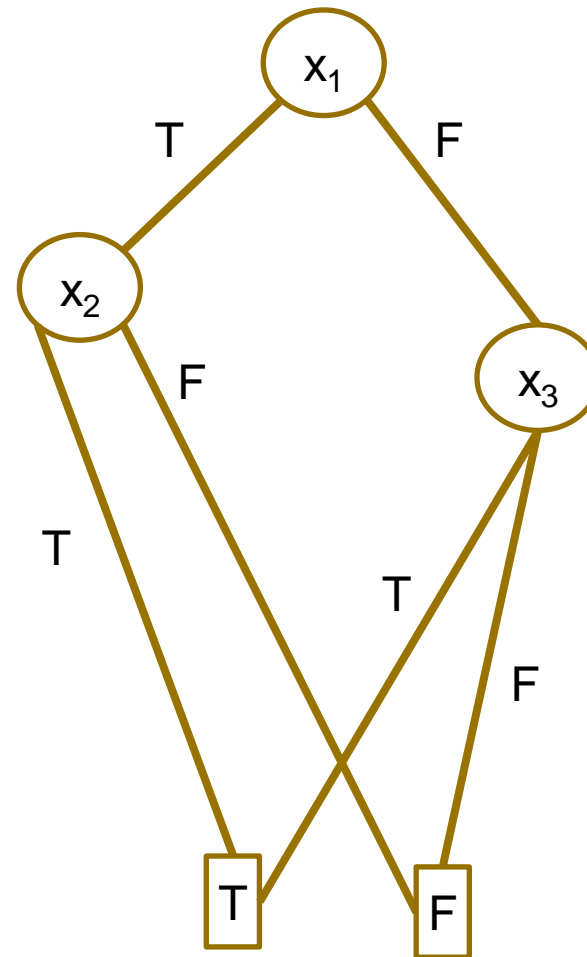
# Diagramma di decisione binario

- archi uscenti da nodo  $x_2$  più a destra entrano nello stesso nodo
- possiamo rimuovere questo nodo



# Diagramma di decisione binario

- archi uscenti da nodo  $x_2$  più a destra entrano nello stesso nodo
- possiamo rimuovere questo nodo
- non sono possibili altre semplificazioni
- diagramma finale ha solo 5 nodi contro i 15 di quello iniziale



# Diagramma di decisione binario (BDD)

- BDD: grafo aciclico direzionato (DAG) t.c.
  - nodi pozzo (**foglie**) sono etichettati con T (true) e F (false)
  - gli altri nodi (**nodi interni**) con variabili booleane
  - esiste un unico nodo sorgente (**radice**)
  - ogni nodo interno ha due archi uscenti:
    - uno etichettato con T (**T-arco**) e l'altro con F (**F-arco**)
  - su ogni cammino dalla radice alle foglie, le variabili sono incontrate sempre nello stesso ordine (ordinamento delle variabili fissato per ogni BDD)
- Nota: cammini di un BDD corrispondono a funzioni di assegnamento delle variabili



# Notazione

- Sia  $V = \langle v_1, v_2, \dots, v_n \rangle$  una sequenza ordinata di variabili
- Una tupla  $(v_n, C, D)$  denota un BDD  $B$  su  $\langle v_1, v_2, \dots, v_n \rangle$  t.c. :
  - la radice di  $B$  è etichettata con  $v_n$
  - $C$  è il BDD su  $\langle v_1, v_2, \dots, v_{n-1} \rangle$  la cui radice è collegata alla radice di  $B$  con un F-arco
  - $D$  è il BDD su  $\langle v_1, v_2, \dots, v_{n-1} \rangle$  la cui radice è collegata alla radice di  $B$  con un T-arco

Nota che  $C$  e  $D$  non sono necessariamente disgiunti (in un BDD minimale hanno sicuramente in comune almeno le foglie)

- $\dim(B)=n$
- $f_B$  denota una formula corrispondente a  $B$

# Definizione induttiva dei BDD

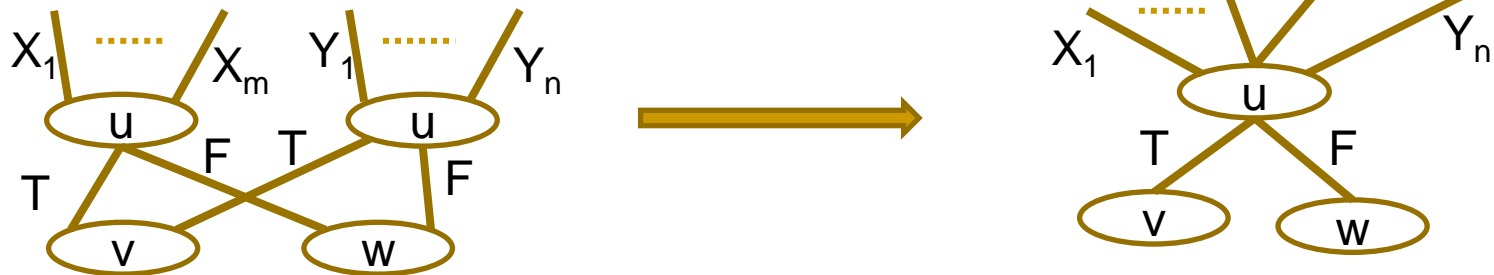
- Sia  $V = \langle v_1, v_2, \dots, v_n \rangle$  una sequenza ordinata di variabili
- Un BDD è :
  - un nodo singolo F (rappresenta la formula **false**)
  - un nodo singolo T (rappresenta la formula **true**)
  - se B and C sono due BDD sulla sequenza  $\langle v_1, v_2, \dots, v_{i-1} \rangle$  allora il DAG  $D=(v_i, B, C)$  è un BDD su  $\langle v_1, v_2, \dots, v_i \rangle$  e rappresenta la formula:

$$(\neg v_i \wedge f_B) \vee (v_i \wedge f_C)$$

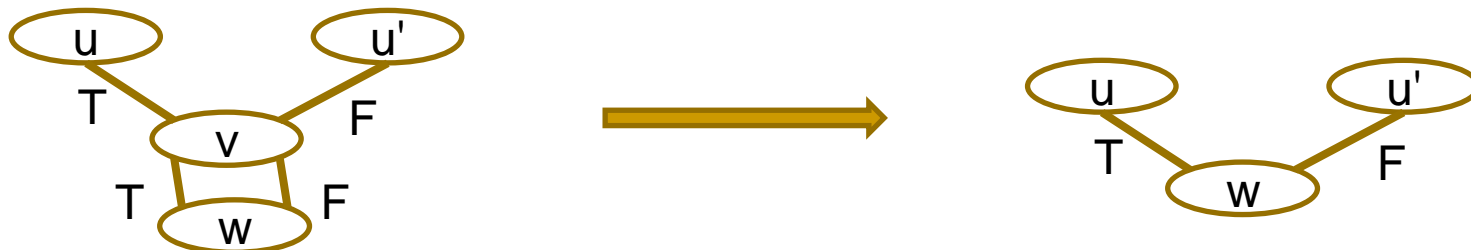
# BDD minimali: riduzione e canonicità

- Fissato l'ordine delle variabili, per ogni funzione booleana esiste un unico BDD corrispondente e si può ottenere applicando le seguenti regole:
  - rimpiazzare foglie con unico rappresentante per T e per F
  - iterativamente a partire dalle foglie (fino a saturazione):

- accorpamento sottografi identici



- eliminazione nodi interni superflui



# AND di BDD

- Dati due BDD  $B$  and  $C$ , il BDD  $D=B \otimes C$  per  $f_B \wedge f_C$  si ottiene ricorsivamente:
  - se  $\dim(B) = \dim(C)=0$ , allora  $\dim(D)=0$  e  $D$  è il singolo nodo  $T$  se e solo se  $B$  e  $C$  sono entrambi  $T$
  - se  $\dim(B) = \dim(C)>0$ ,  $B = (v_i, l_B, r_B)$  e  $C = (v_i, l_C, r_C)$  allora  $D=(v_i, l_B \otimes l_C, r_B \otimes r_C)$
  - se  $\dim(B) > \dim(C)$  e  $B = (v_i, l_B, r_B)$  allora
$$D=(v_i, l_B \otimes C, r_B \otimes C)$$

Nota che  $B \otimes C$  è in genere non minimale anche se  $B$  e  $C$  sono minimali

# OR di BDD

- Dati due BDD  $B$  and  $C$ , il BDD  $D=B\oplus C$  per  $f_B \vee f_C$  si ottiene ricorsivamente:
  - se  $\dim(B) = \dim(C)=0$ , allora  $\dim(D)=0$  e  $D$  è il singolo nodo  $F$  se e solo se  $B$  e  $C$  sono entrambi  $F$
  - se  $\dim(B) = \dim(C)>0$ ,  $B = (v_i, l_B, r_B)$  e  $C = (v_i, l_C, r_C)$  allora  $D=(v_i, l_B \oplus l_C, r_B \oplus r_C)$
  - se  $\dim(B) > \dim(C)$  e  $B = (v_i, l_B, r_B)$  allora
$$D=(v_i, l_B \oplus C, r_B \oplus C)$$

Nota che  $B \oplus C$  è in genere non minimale anche se  $B$  e  $C$  sono minimali

# NOT e Complessità AND e OR

- Per calcolare, il BDD per la negazione di una formula basta scambiare le etichette delle foglie (T diventa F e F diventa T)
  - richiede tempo costante
- Utilizzando programmazione dinamica, AND e OR di BDD possono essere fatti risolvendo  $O(|B|.|C|)$  sottoproblemi
  - per ogni nodo  $u$  in  $B$  e  $v$  in  $C$ ,  $(u,v)$  è risolto una volta
  - si mantengono i risultati per ogni coppia  $(r,s)$
- Quindi, l'algoritmo richiede tempo  $O(|B|.|C|)$  e il BDD ottenuto ha taglia  $O(|B|.|C|)$ .

# Restrizione di una variabile a un valore

Per una formula  $f$  con  $n$  variabili,

$f \downarrow_{(x=b)}$  è la formula con  $n-1$  variabili ottenuta da  $f$  assegnando  $x$  con  $b$

Dato un BDD per  $f$ , calcola il BDD per  $f \downarrow_{(x=b)}$  come segue:

- visita BDD per  $f$
- redireziona ogni arco che punta a un nodo  $v$  etichettato  $x$  al nodo  $u$  tale che  $(v,u)$  è un  $b$ -arco



# Quantificazione

Si consideri una formula  $f$ .

- Quantificazione esistenziale:

$$\exists v.f = f \downarrow_{(v=F)} \vee f \downarrow_{(v=T)}$$

dato un BDD per  $f$ , possiamo calcolare un BDD for  $\exists v.f$  in tempo  $O(n^2)$

- Quantificazione universale (duale):

$$\forall v.f = f \downarrow_{(v=F)} \wedge f \downarrow_{(v=T)}$$

dato un BDD per  $f$ , possiamo calcolare un BDD for  $\forall v.f$  in tempo  $O(n^2)$



# AndExists

- nell'algoritmo simbolico che risolve la reachability occorre calcolare

$$\exists Z. ( R_i (Z) \wedge T(Z,X) )$$

- possiamo combinare gli algoritmo per il calcolo dell'AND e della quantificazione esistenziale così che i BDD da memorizzare hanno solo  $|X|$  variabili (invece di  $2|X|$  variabili)
  - $T$  è la relazione di transizione data, è costante
  - si devono calcolare BDD che rappresentano insiemi di stati raggiungibili

# Model-checking con BDD

```
Reachability( X, Q_in(X), T(X,X'), F(X) ) {  
    // X - vars; Q_in, T(X,X') e F sono BDD  
  
    R:=0; R' = Q_in;  
    while (R≠R' and R' ∧ F = ∅) {  
        R = R';  
        R' = R ∨ ∃ Z. ( R(Z) ∧ T(Z,X) ) ;  
    }  
  
    if (R' ∧ F = ∅)  
        return "unreachable"  
    else  
        return "reachable";  
}
```

# Model-checking con BDD

```
Safety( X, Q_in(X), T(X,X'), F(X) ) {  
    // X - vars; Q_in, T(X,X') e F sono BDD  
  
    R:=0; R' = Q_in;  
    while (R≠R' and R' ∧ F = ∅) {  
        R = R';  
        R' = R ∨ ∃ Z. ( R(Z) ∧ T(Z,X) ) ;  
    }  
  
    if (R' ∧ F = ∅)  
        return "safe"  
    else  
        return "unsafe";  
}
```

# Modifichiamo reachability

```
ReachableSet ( X, Q_in(X), T(X,X') ) {  
    // X - vars; Q_in e T(X,X') sono BDD  
    R:=0;  
  
    R' =  $\exists Z. (Q\_in(Z) \wedge T(Z,X) )$  ;  
    // stati iniziali compaiono in R solo se possono essere  
    // raggiunti nuovamente  
  
    while (R  $\neq$  R') {  
        R = R' ;  
        R' = R  $\vee \exists Z. ( R(Z) \wedge T(Z,X) )$  ;  
    }  
  
    return R' ;  
}
```

# Model-checking con BDD

```
Buchi ( X, Gin(X), T(X,X'), F(X) ) {  
    // X - vars; Gin, T(X,X') e F sono BDD  
  
    F' = F ∧ ReachableSet(X, Qin(X), T(X,X')) ;  
  
    do {  
        F = F' ;  
        F' = F ∧ ReachableSet(X, F(X), T(X,X')) ;  
    } while (F ≠ F') ;  
  
    if (F = ∅)  
        return "unsatisfied"  
    else  
        return "satisfied";  
}
```

# Implementazione di BDD

Alcuni BDD packages disponibili:

- CuDD --- Fabio Somenzi, Colorado Univ.
- VIS --- Colorado, Berkeley

Numerose euristiche implementate in pratica:

- Forward/Backward
- Ordinamento delle variabili
- Supporto diretto per domini finiti (MDD)
- Partizionamento delle transizioni/ della rete
- Scelta frontiere

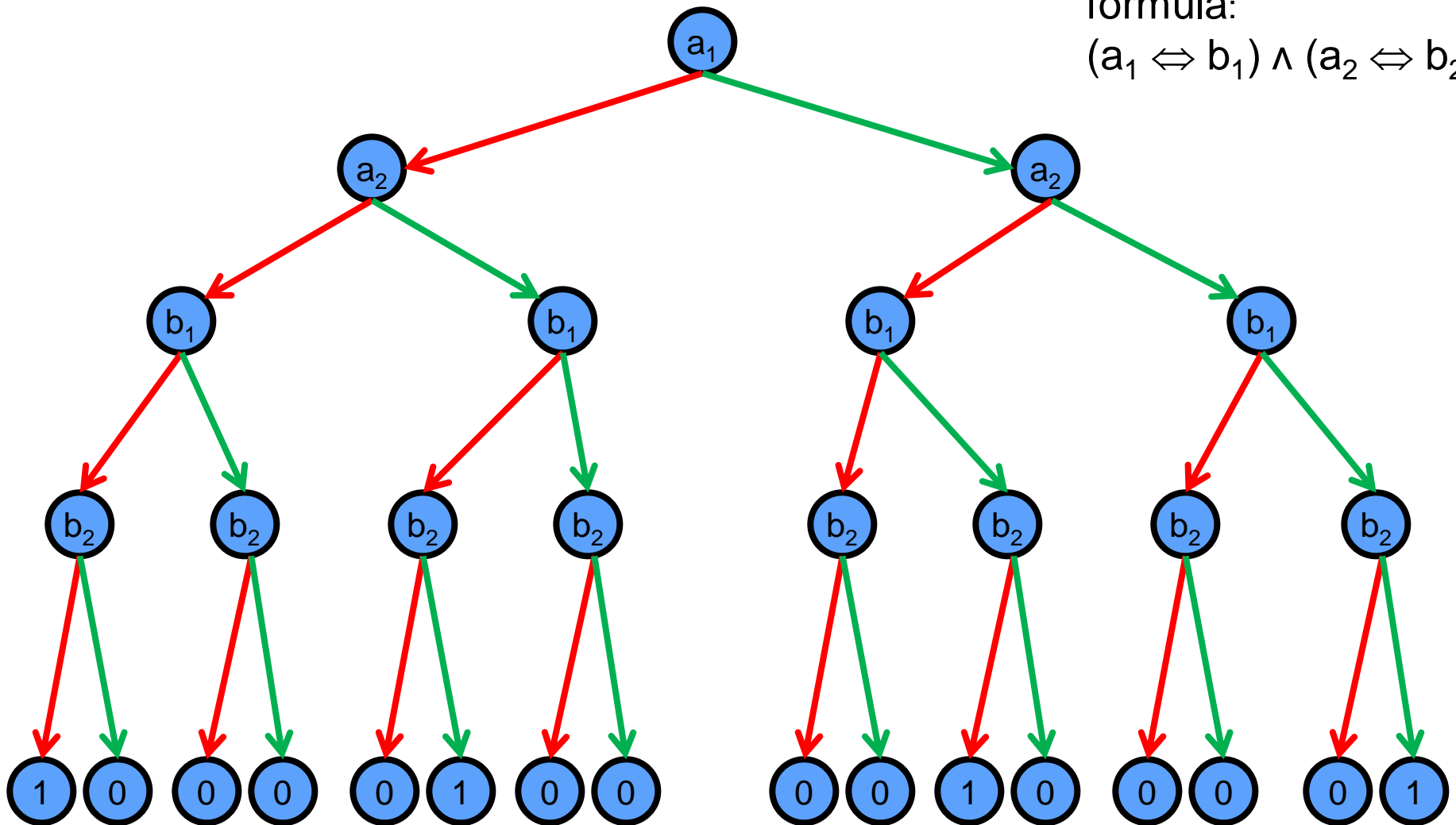
# Ordinamento delle variabili

- aspetto cruciale per la prestazione di algoritmi che usano BDD
- influenza sensibilmente la taglia dei BDD
  - scegliendo il giusto ordinamento, taglia BDD può essere esponenzialmente più succinto
    - Es.  $(x_1 \vee y_1) \wedge \dots \wedge (x_n \vee y_n)$   
BDD esponenziale in  $n$  se ordinamento  $\langle x_1, \dots, x_n, y_1, \dots, y_n \rangle$   
lineare se ordinamento  $\langle x_1, y_1, \dots, x_n, y_n \rangle$
  - non sempre è possibile avere BDD di taglia trattabile (esistono formule per le quali la taglia del BDD è esponenziale nel numero di variabili indipendentemente dall'ordinamento)

# ROBDD and variable ordering

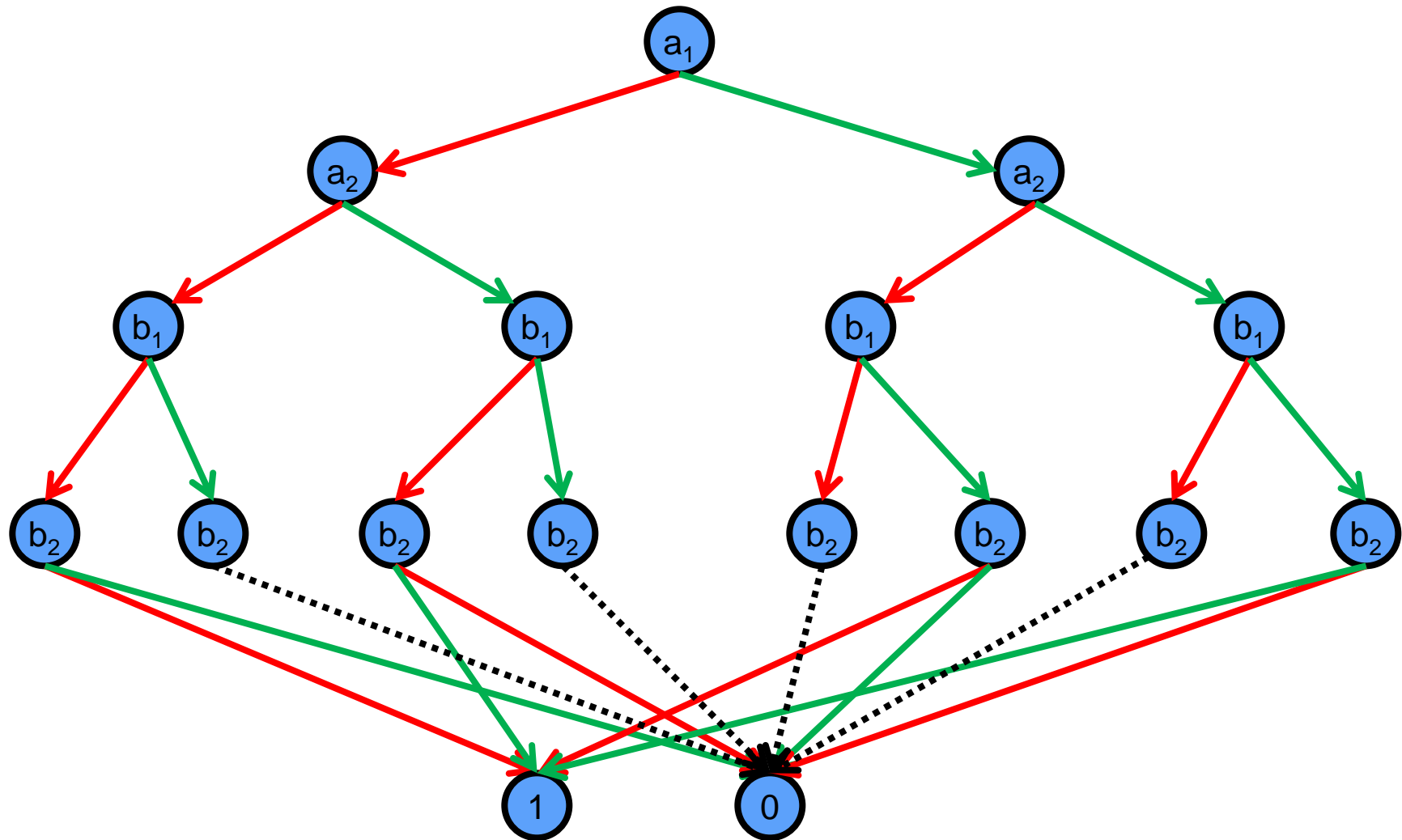
formula:

$$(a_1 \Leftrightarrow b_1) \wedge (a_2 \Leftrightarrow b_2)$$

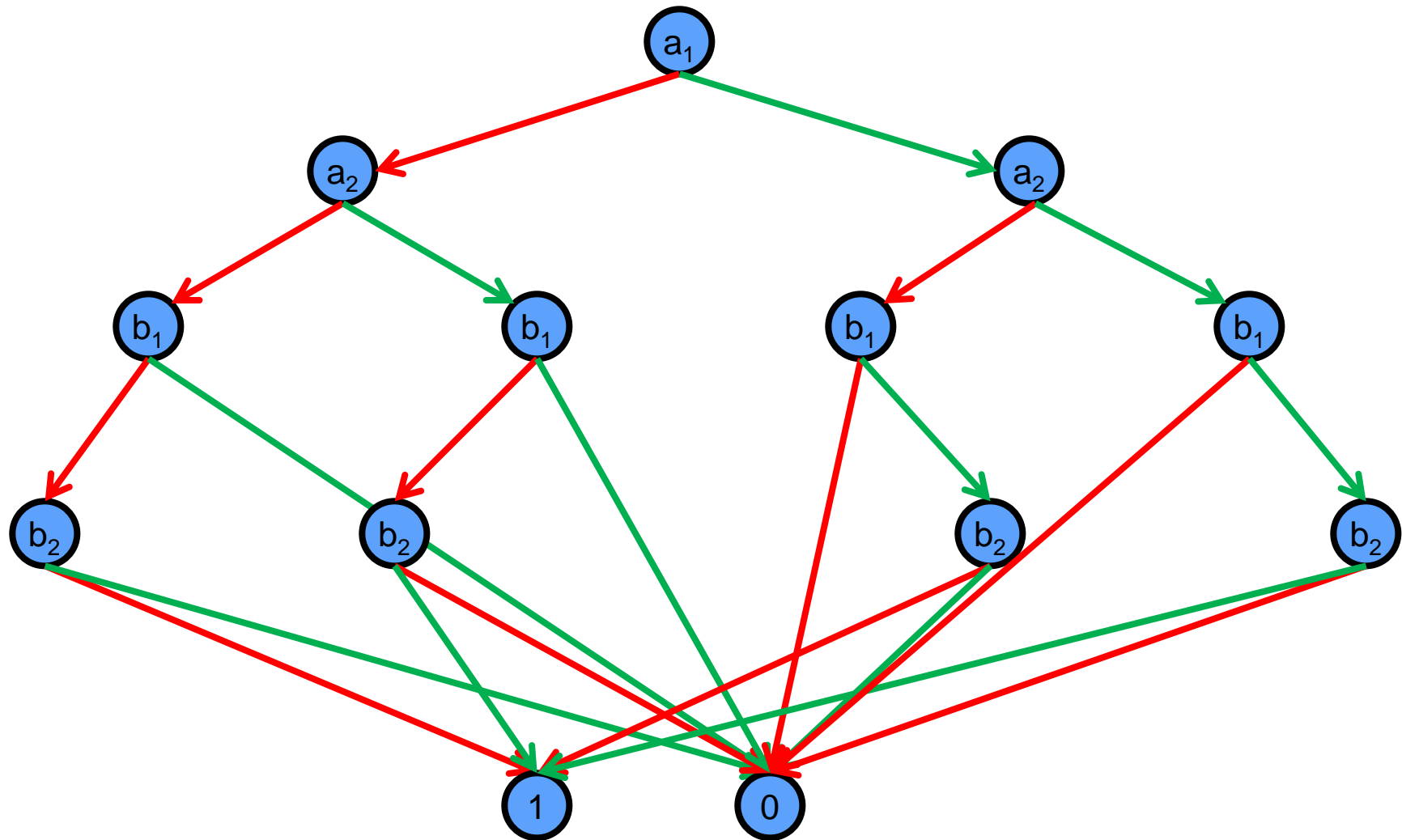




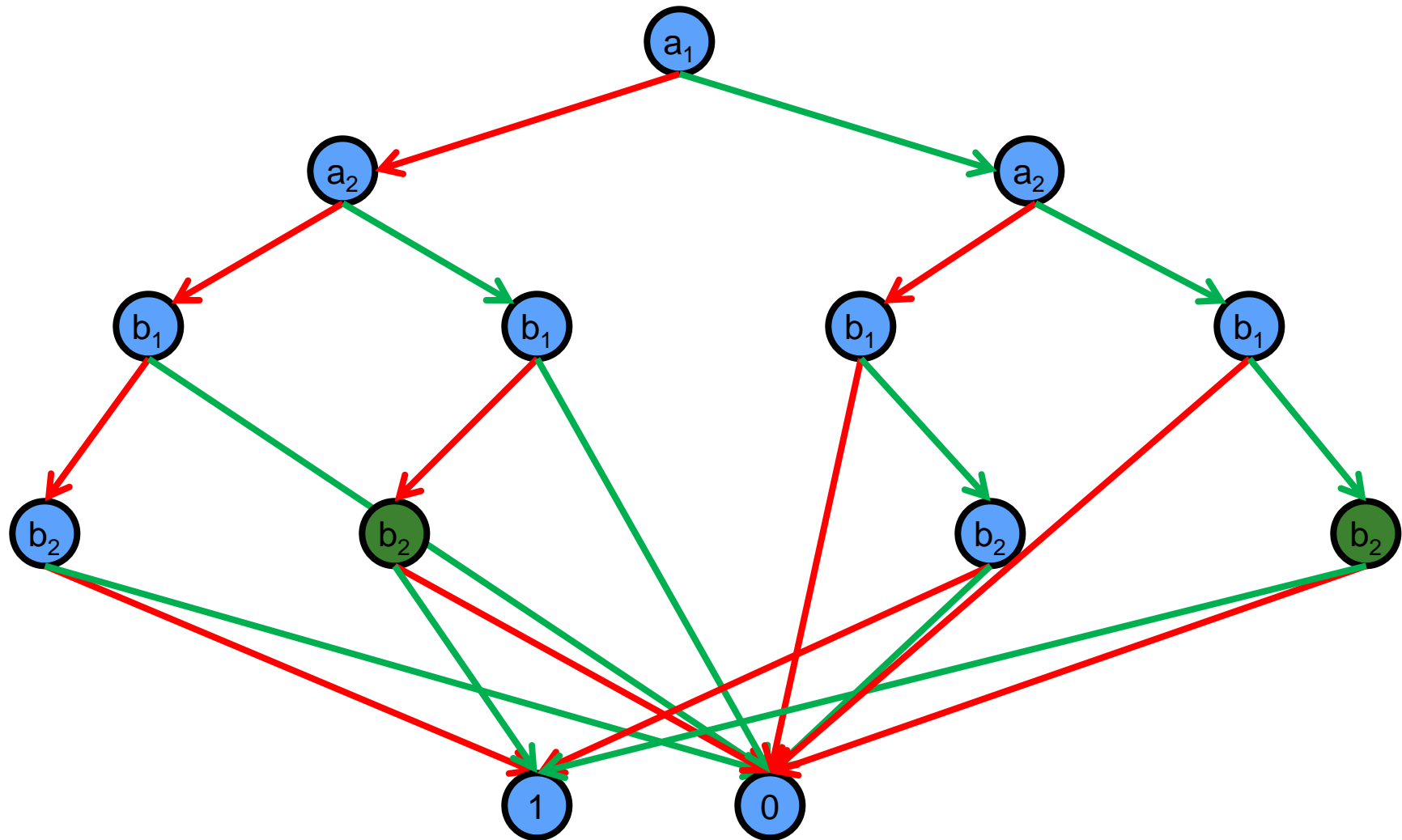
# ROBDD and variable ordering



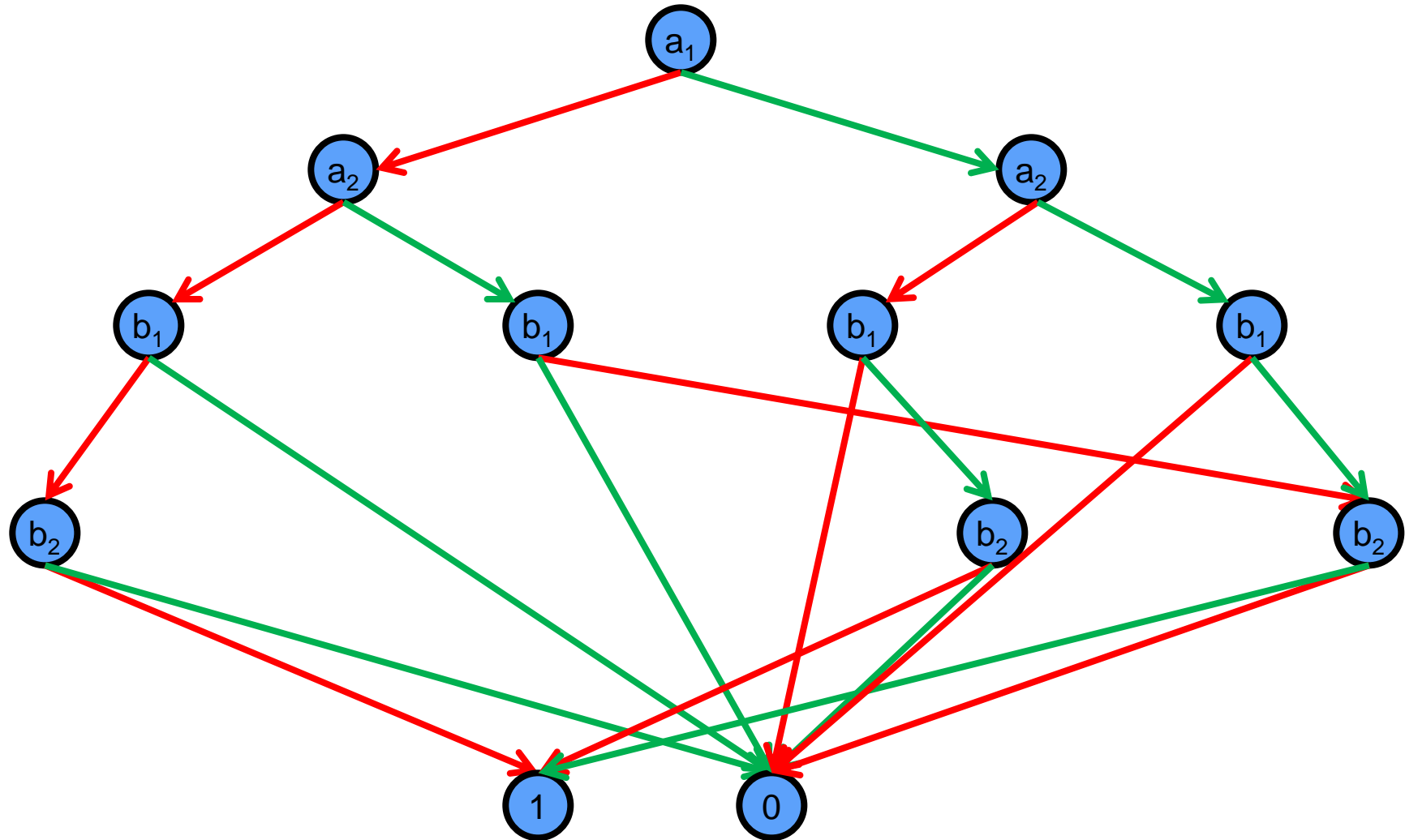
# ROBDD and variable ordering



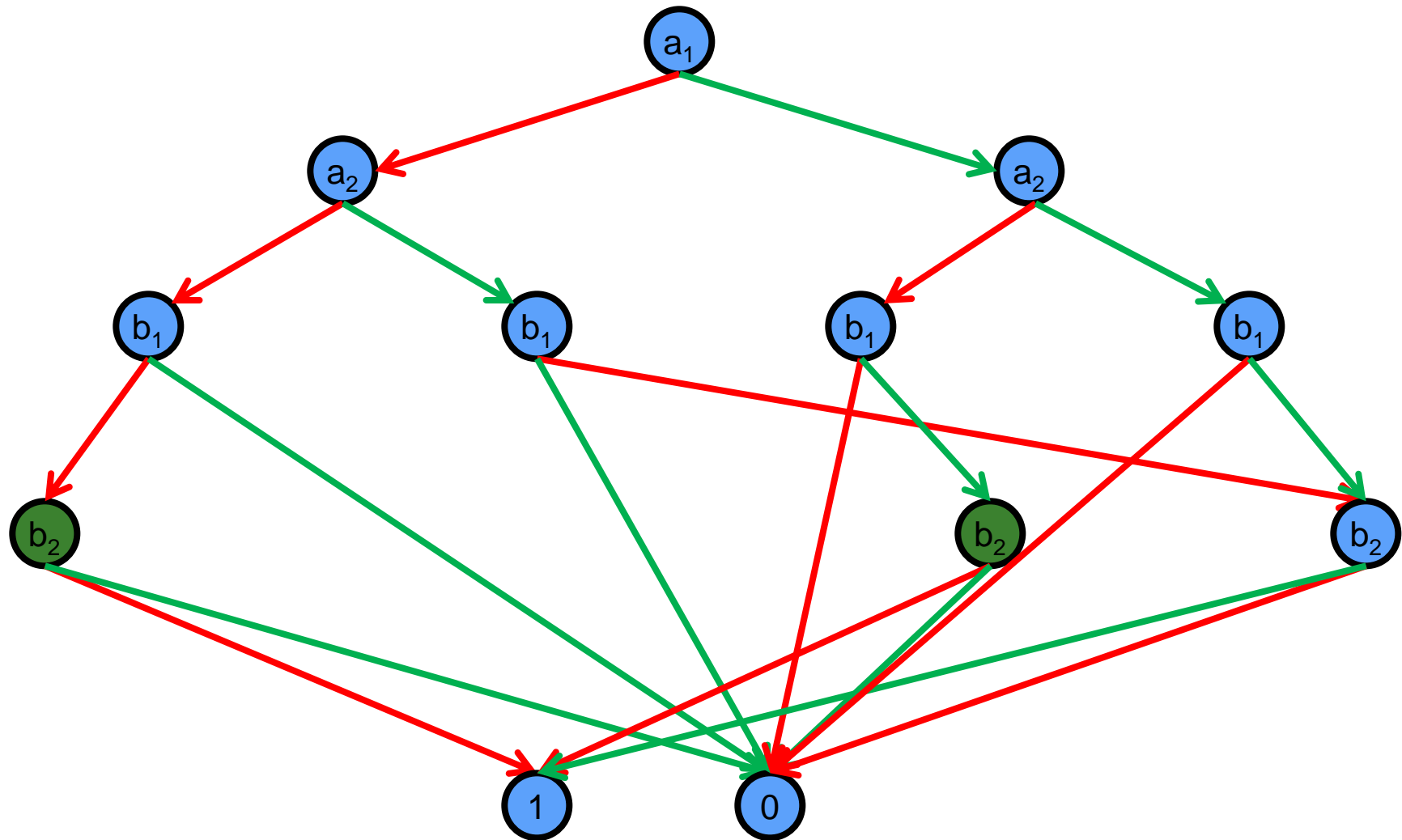
# ROBDD and variable ordering



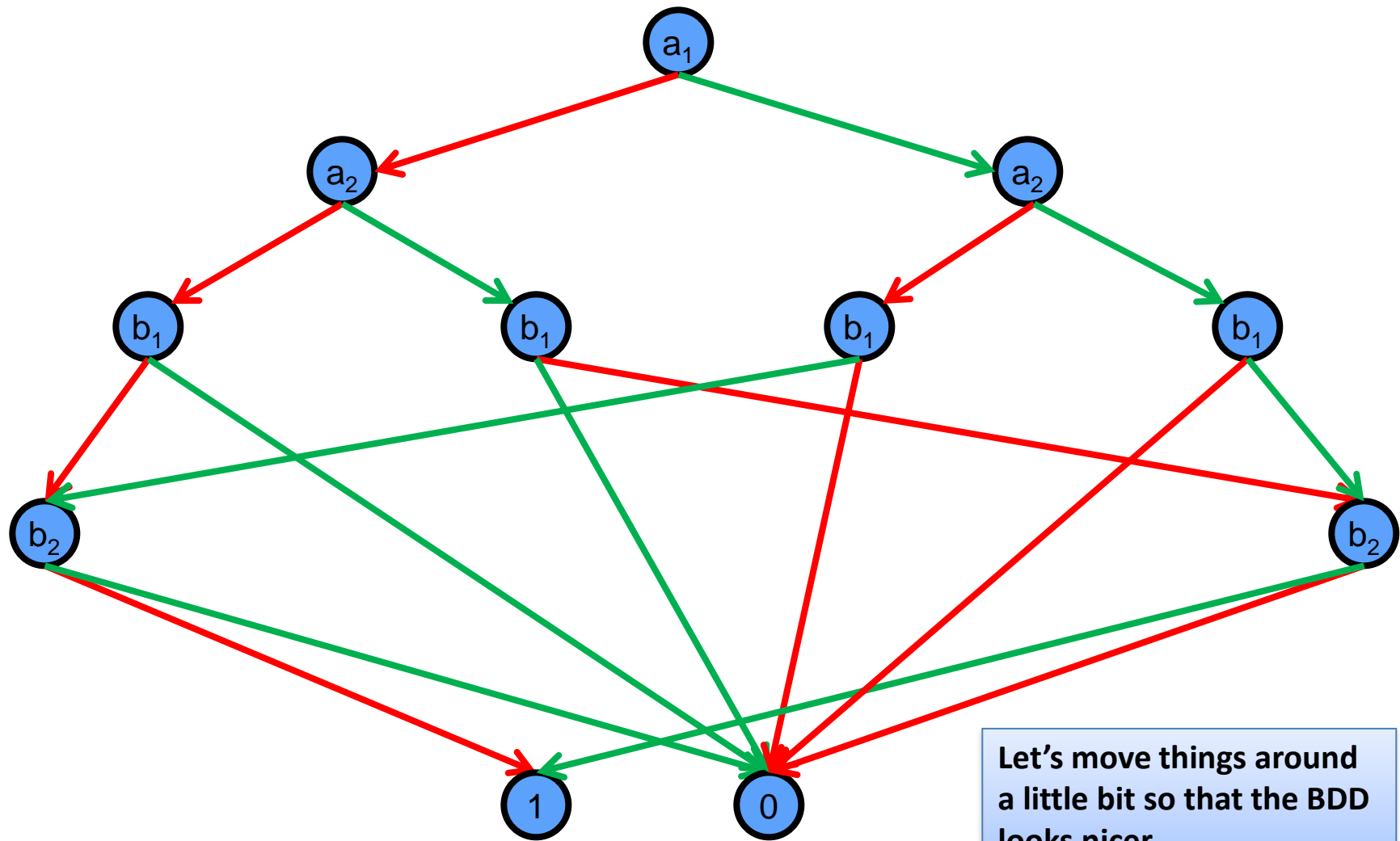
# ROBDD and variable ordering



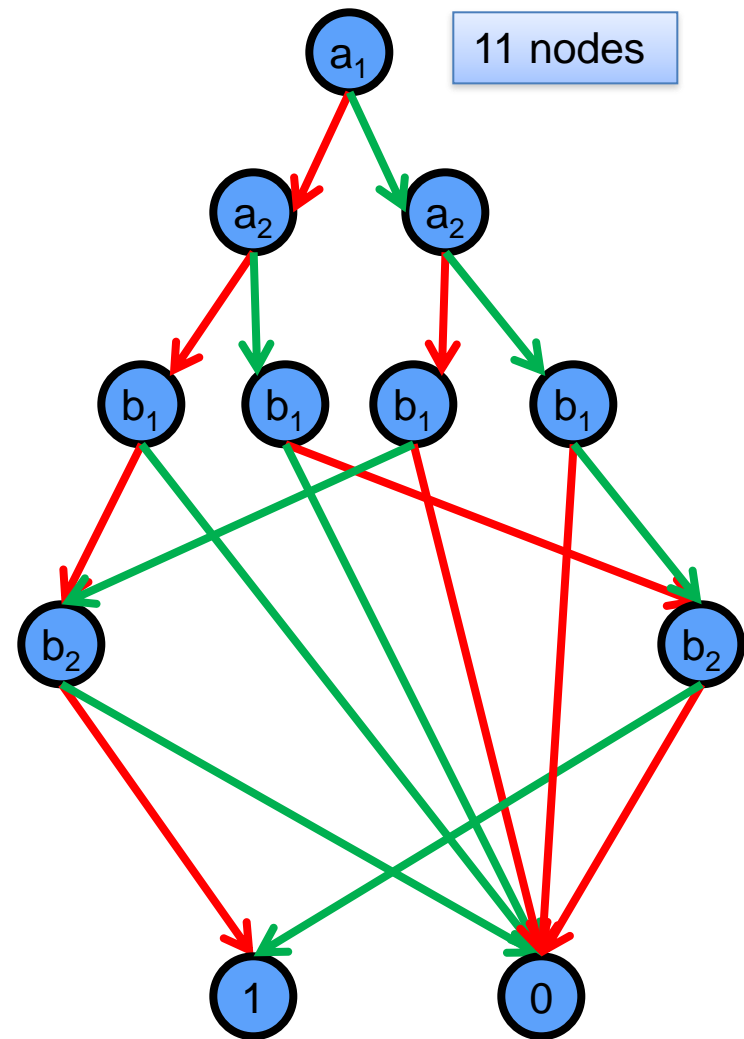
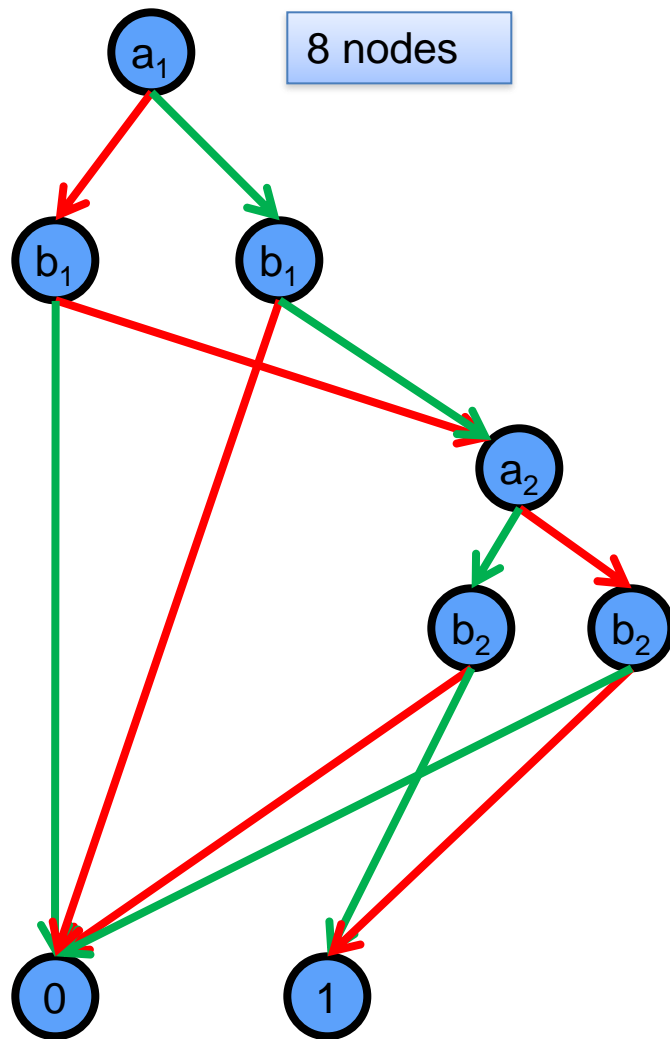
# ROBDD and variable ordering



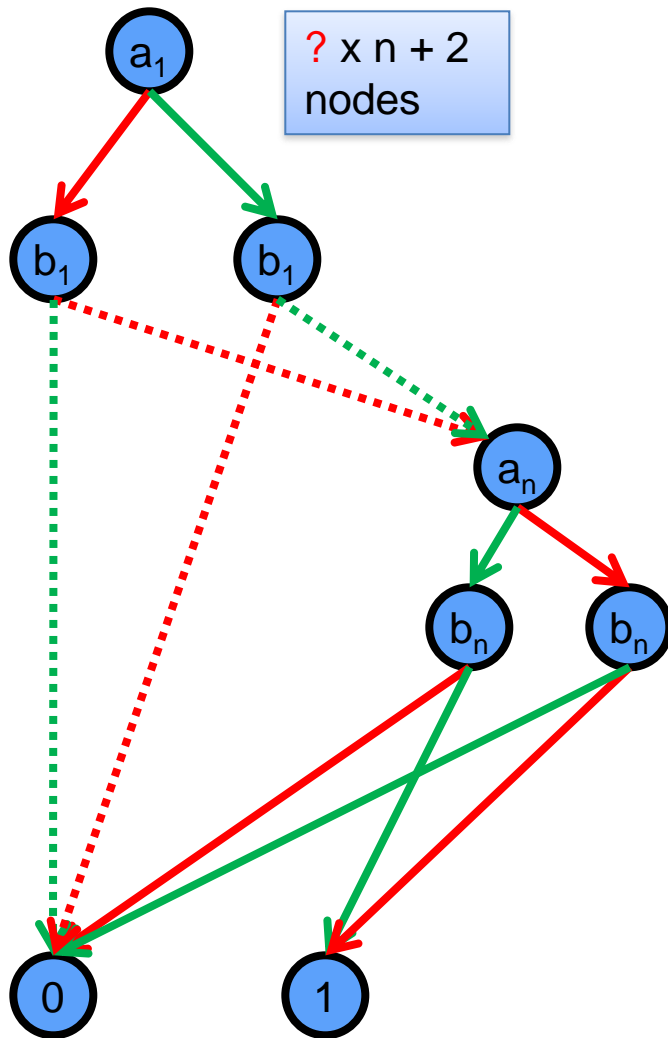
# ROBDD and variable ordering



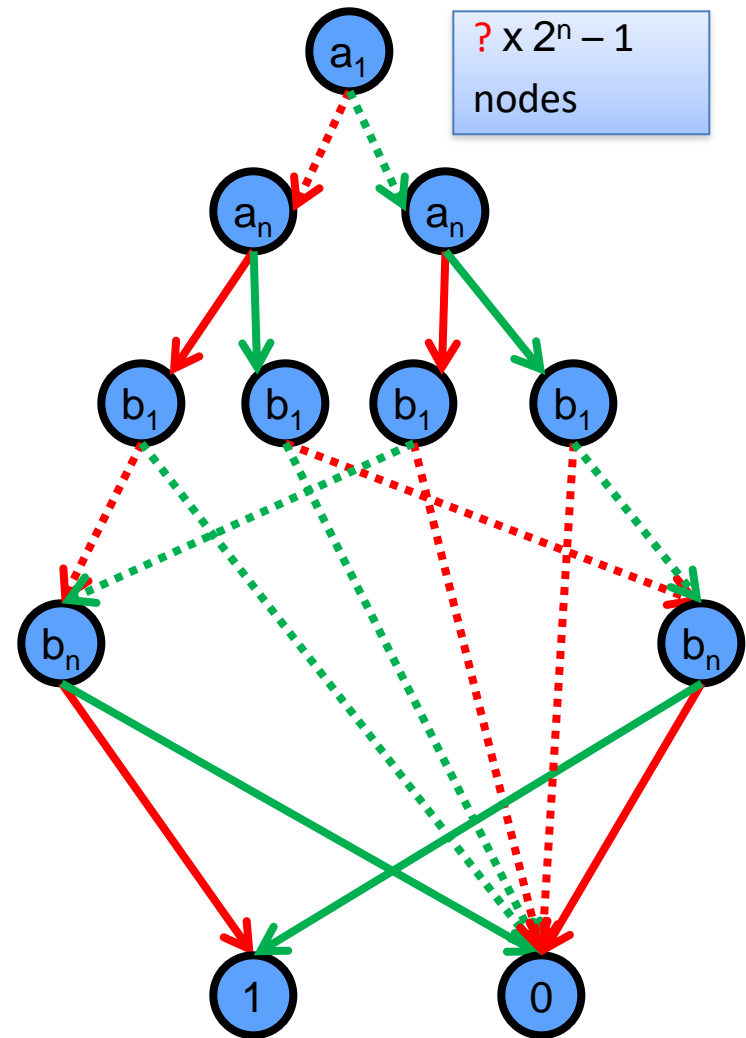
# ROBDD and variable ordering



# ROBDD and variable ordering



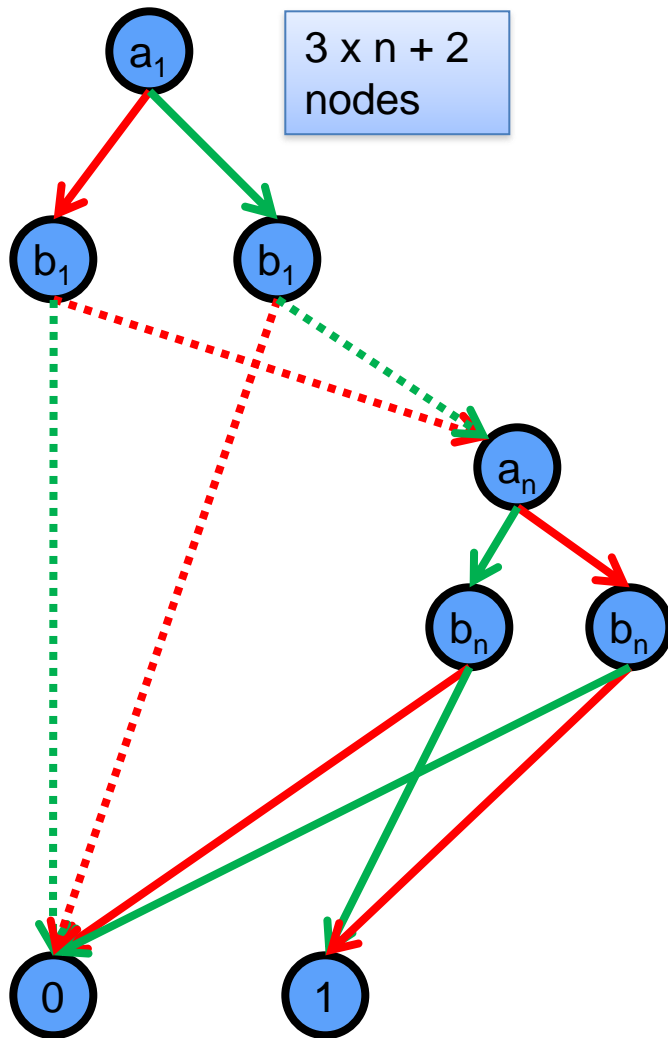
$a_1 < b_1 < \dots < a_n < b_n$



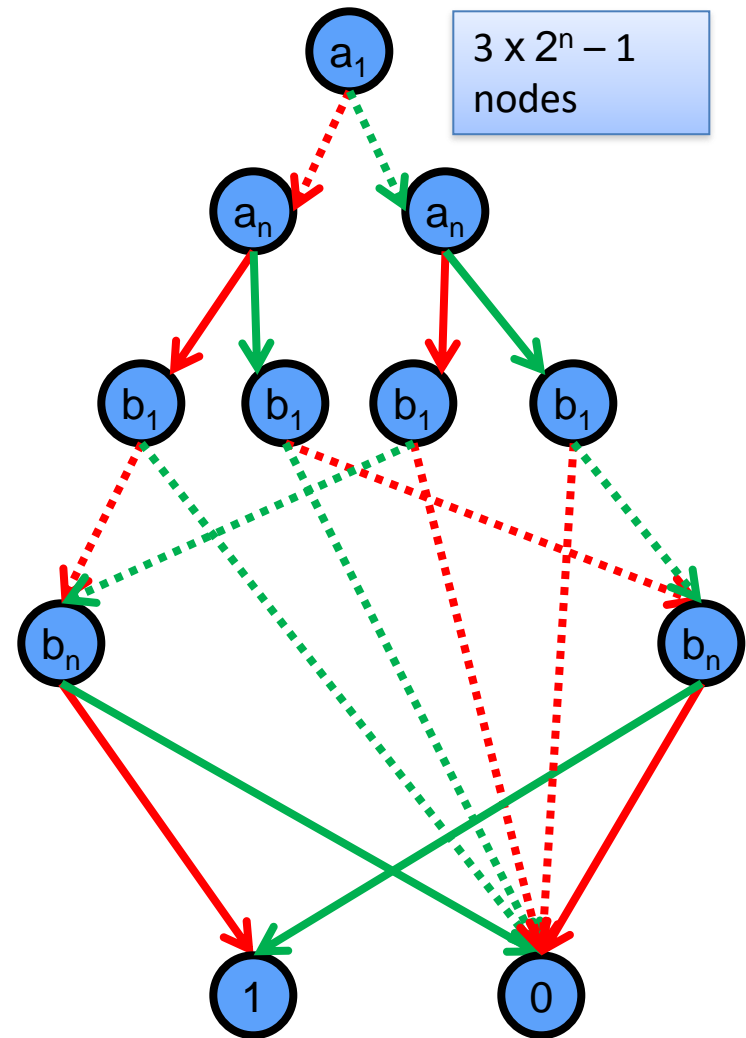
$a_1 < \dots < a_n < b_1 < \dots < b_n$



# ROBDD and variable ordering



$a_1 < b_1 < \dots < a_n < b_n$



$a_1 < \dots < a_n < b_1 < \dots < b_n$

# Osservazioni

- Il model-checking simbolico con **BDD** ha avuto molto successo nella verifica dell'**hardware**
- **BDD** non sono ampiamente usati nella verifica del **software**
  - difficili da combinare con partial-order reduction (insieme all'astrazione principale artefice dei successi in software verification)
  - difficile modellare l'allocazione dinamica della memoria
  - in software verification approccio simbolico fa uso di esecuzioni simboliche e vincoli (constraints)
- Model checker simbolico: nuSMV